

DIP Lab 4: Image Compression

2017011620 计73 李家昊

2020 年 6 月 3 日

1 实验一

1.1 实验原理

本实验将实现离散余弦变换（DCT）及其逆变换（IDCT），其中DCT将信号从时域映射到频域，而IDCT将信号从频域映射到时域。

对于一维DCT，给定一个 N 维向量 \mathbf{x} ，其 N 点DCT为 \mathbf{y} ，则有，

$$y_k = \alpha_k^{(N)} \sum_{n=0}^{N-1} x_n \cos\left(\frac{(2n+1)k\pi}{2N}\right), \quad k = 0, 1, 2, \dots, N-1 \quad (1)$$

其中，

$$\alpha_k^{(N)} = \begin{cases} \sqrt{1/N}, & k = 0 \\ \sqrt{2/N}, & k \geq 1 \end{cases} \quad (2)$$

记矩阵 $\mathbf{A}_N = (a_{kn}^{(N)}) \in \mathbb{R}^{N \times N}$ ，其中，

$$a_{kn}^{(N)} = \alpha_k^{(N)} \cos\left(\frac{(2n+1)k\pi}{2N}\right), \quad k, n = 0, 1, 2, \dots, N-1 \quad (3)$$

则一维DCT可以表示成矩阵形式，直接计算的时间复杂度为 $O(N^2)$ ，

$$\mathbf{y} = \mathbf{A}_N \mathbf{x} \quad (4)$$

对于二维DCT，给定一个 $M \times N$ 矩阵 \mathbf{X} ，其二维DCT为 \mathbf{Y} ，则有，

$$Y_{uv} = \alpha_u^{(M)} \alpha_v^{(N)} \sum_{x=0}^{M-1} \sum_{y=0}^{N-1} X_{xy} \cos\left(\frac{(2x+1)u\pi}{2M}\right) \cos\left(\frac{(2y+1)v\pi}{2N}\right) \quad (5)$$

将方程 (5)稍作变换可知，二维DCT可以看作两次一维DCT，

$$Y_{uv} = \alpha_v^{(N)} \sum_{y=0}^{N-1} \left\{ \cos\left(\frac{(2y+1)v\pi}{2N}\right) \left[\alpha_u^{(M)} \sum_{x=0}^{M-1} X_{xy} \cos\left(\frac{(2x+1)u\pi}{2M}\right) \right] \right\} \quad (6)$$

同样有 $\mathbf{A}_M = (a_{ux}^{(M)}) \in \mathbb{R}^{M \times M}$, $\mathbf{A}_N = (a_{vy}^{(N)}) \in \mathbb{R}^{N \times N}$, 根据方程 (6), 首先对每一列做一维DCT, 即 $\mathbf{A}_M \mathbf{X}$, 再对每一行做一维DCT, 即 $(\mathbf{A}_N (\mathbf{A}_M \mathbf{X})^T)^T$, 这样就得到了二维DCT的矩阵形式, 计算的时间复杂度为 $O(MN(M + N))$,

$$\mathbf{Y} = \mathbf{A}_M \mathbf{X} \mathbf{A}_N^T \quad (7)$$

容易验证 \mathbf{A}_N 为正交矩阵, 由此可得一维和二维IDCT分别为,

$$\mathbf{x} = \mathbf{A}_N^T \mathbf{y}, \quad \mathbf{X} = \mathbf{A}_M^T \mathbf{Y} \mathbf{A}_N \quad (8)$$

1.2 实验结果及分析

首先选取一个 8×8 区域作为例子, 如图 1, 对该区域分别进行二维DCT和两次一维DCT, 频域图像和恢复的图像如图 2。经过计算, 两种DCT方式处理的图片经过IDCT还原后, 信噪比均为 $+\infty$, 说明两种处理方式是等价的, 这也与实验原理部分的理论分析相符。



图 1: 选取女生帽檐处白框内的 8×8 区域

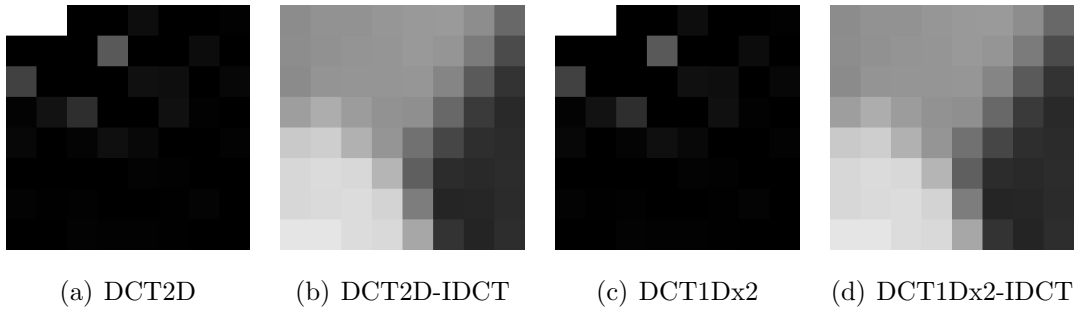


图 2: 在 8×8 区域内二维DCT和两次一维DCT的对比结果

接下来将原图分割为若干个 8×8 区域, 每个区域内分别用二维DCT和两次一维DCT处理, 得到频域图像后, 仅保留左上角低频部分的系数, 去掉高频部

分，在不同的保留比例下，得到的结果如图 3，对应的峰值信噪比（PSNR）如表 1。实验结果又一次验证了，二维DCT和两次一维DCT的处理效果是完全相同的。同时也可以看出，图像的大部分信息主要集中在低频部分，当保留比例为1/64时，得到的结果依然是可辨认的，如图 3(d)。



图 3: 保留不同比例的频域系数的对比结果

表 1: 在不同的系数保留比例下，复原图像的峰值信噪比PSNR

Method \ #Coef.	1/1	1/4	1/16	1/64
DCT2D	67.39	32.95	26.41	22.04
DCT1Dx2	67.39	32.95	26.41	22.04

调整方块区域的大小，再次进行实验，实验结果如表 2。可以看出，方块区域越大，保留比例越低，那么丢失的信息就越多，block effect就越明显，PSNR也就越低。

表 2: 在不同的方块大小以及系数保留比例下，复原图像的峰值信噪比PSNR

Block \ #Coef.	1/1	1/4	1/16	1/64	1/256	1/1024
1×1	$+\infty$					
2×2	74.23	29.95				
4×4	70.58	31.62	25.35			
8×8	67.39	32.95	26.41	22.04		
16×16	62.60	33.64	27.33	22.93	19.36	
32×32	60.61	33.93	27.69	23.51	20.09	17.15

2 实验二

2.1 实验原理

实验一通过直接去掉某些高频系数来压缩图像，这往往会带来一些block effect。为了缓解这一问题，实验二引入了量化表来过滤高频，这也是JPEG压缩格式的做法。在一个 8×8 方块内，记量化表为 Q ，原始图像通过DCT得到频谱为 Y ，则量化后的结果为，

$$Y_q(u, v) = \text{round} \left(\frac{Y(u, v)}{Q(u, v)} \right) \quad (9)$$

量化完成后，再通过编码，就生成了压缩后的图像数据。
恢复图像时，首先解码，然后反量化，

$$Y(u, v) = Y_q(u, v) \cdot Q(u, v) \quad (10)$$

再进行IDCT，就可以恢复图像了。

量化表有很多种设计，本次实验主要对比三种量化表，分别是Canon DIGITAL IXUS 60 (fine)，记为 Q_1 ，

$$Q_1 = \begin{pmatrix} 1 & 1 & 1 & 2 & 3 & 6 & 8 & 10 \\ 1 & 1 & 2 & 3 & 4 & 8 & 9 & 8 \\ 2 & 2 & 2 & 3 & 6 & 8 & 10 & 8 \\ 2 & 2 & 3 & 4 & 7 & 12 & 11 & 9 \\ 3 & 3 & 8 & 11 & 10 & 16 & 15 & 11 \\ 3 & 5 & 8 & 10 & 12 & 15 & 16 & 13 \\ 7 & 10 & 11 & 12 & 15 & 17 & 17 & 14 \\ 14 & 13 & 13 & 15 & 15 & 14 & 14 & 14 \end{pmatrix} \quad (11)$$

Nikon CoolPix L12 (fine)，记为 Q_2 ，

$$Q_2 = \begin{pmatrix} 2 & 1 & 1 & 2 & 3 & 5 & 6 & 7 \\ 1 & 1 & 2 & 2 & 3 & 7 & 7 & 7 \\ 2 & 2 & 2 & 3 & 5 & 7 & 8 & 7 \\ 2 & 2 & 3 & 3 & 6 & 10 & 10 & 7 \\ 2 & 3 & 4 & 7 & 8 & 13 & 12 & 9 \\ 3 & 4 & 7 & 8 & 10 & 12 & 14 & 11 \\ 6 & 8 & 9 & 10 & 12 & 15 & 14 & 12 \\ 9 & 11 & 11 & 12 & 13 & 12 & 12 & 12 \end{pmatrix} \quad (12)$$

以及Jpeg Standard, 记为 Q_3 ,

$$Q_3 = \begin{pmatrix} 16 & 11 & 10 & 16 & 24 & 40 & 51 & 61 \\ 12 & 12 & 14 & 19 & 26 & 58 & 60 & 55 \\ 14 & 13 & 16 & 24 & 40 & 57 & 69 & 56 \\ 14 & 17 & 22 & 29 & 51 & 87 & 80 & 62 \\ 18 & 22 & 37 & 56 & 68 & 109 & 103 & 77 \\ 24 & 35 & 55 & 64 & 81 & 104 & 113 & 92 \\ 49 & 64 & 78 & 87 & 103 & 121 & 120 & 101 \\ 72 & 92 & 95 & 98 & 112 & 100 & 103 & 99 \end{pmatrix} \quad (13)$$

2.2 实验结果及分析

三种量化表处理后, 复原图像如图 4, 峰值信噪比如表 3。三张复原图像中, 肉眼几乎看不出区别, 从PSNR数值来看, Canon和Nikon差异不大, 但两者均显著优于JPEG。原因可能是JPEG量化表的数值更大, 压缩比更高, 带来的数据流失也相对更多。



图 4: 三种量化表的处理结果

表 3: 三种量化表处理后, 复原图像的峰值信噪比PSNR

	Canon	Nikon	JPEG
PSNR	42.93	43.85	35.15

进一步考虑在量化表前添加一个系数 a , 以 aQ 来作量化处理, 随着 a 的变化, PSNR的变化如图 5, 压缩率变化如图 6。可以看到, 随着 a 的增长, 量化表的数值越大, 图像压缩率越高, 损失的信息越多, 因此PSNR越低。压缩比和PSNR通常是矛盾的, 在实际应用中, 需要找到两者之间的平衡。

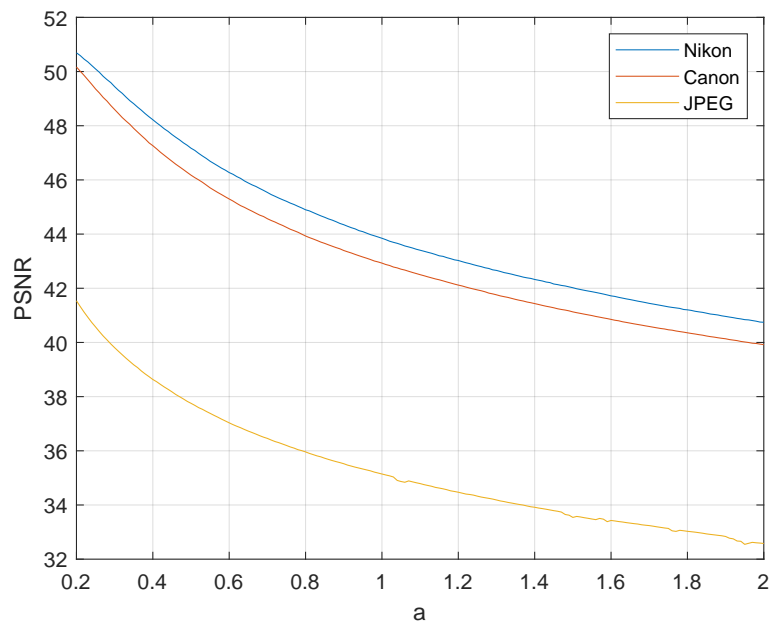


图 5: 随系数 a 的变化, 量化表 aQ 的PSNR

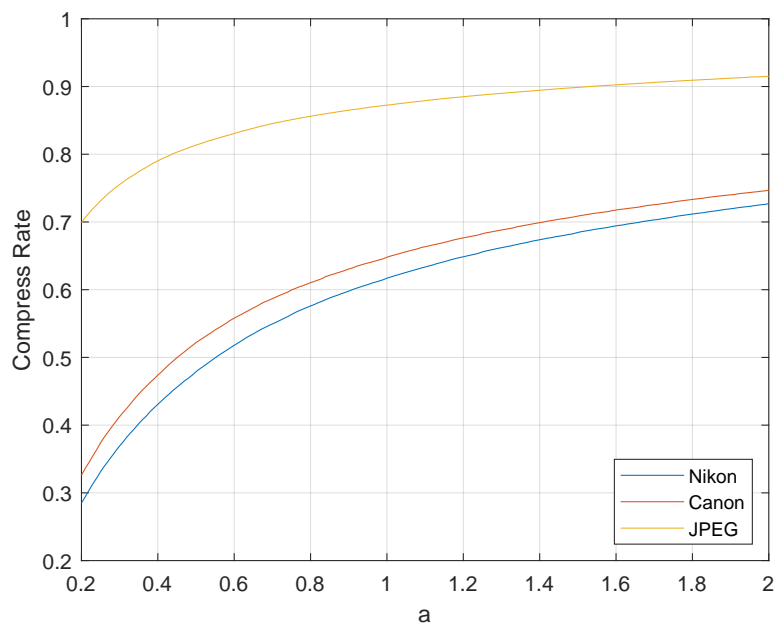


图 6: 随系数 a 的变化, 量化表 aQ 的压缩率